

ΜΕΛΕΤΗ ΤΩΝ ΣΥΓΧΡΟΝΩΝ ΙΖΗΜΑΤΟΓΕΝΩΝ ΔΙΕΡΓΑΣΙΩΝ ΣΤΟ ΜΕΤΩΠΟ ΤΟΥ ΔΕΛΤΑ ΚΑΙ ΣΤΟ ΠΡΟΔΕΛΤΑ ΤΟΥ ΠΟΤΑΜΟΥ ΕΒΡΟΥ, ΒΑ ΑΙΓΑΙΟ ΠΕΛΑΓΟΣ*

Θ.Δ. ΚΑΝΕΛΛΟΠΟΥΛΟΣ¹, Β. ΚΑΨΙΜΑΛΗΣ², Μ.Ο. ΑΙΓΕΛΙΔΗΣ³, Ε. ΚΑΜΠΕΡΗ¹ & Α. ΚΑΡΑΓΕΩΡΓΗΣ¹

ΣΥΝΟΨΗ

Η ανάπτυξη των σύγχρονων αποθέσεων στο δελταϊκό πρόσιμα του Ποταμού Έβρου πραγματοποιείται κατά μήκος ενός άξονα με γενική διεύθυνση ΑΝΑ-ΔΒΔ. Το λεπτοκλαστικό χερσογενές υλικό καλύπτει το σύνολο του δελταϊκού μετώπου και μεγάλο μέρος του προδέλτα. Ο ρυθμός ιζηματογένεσης της περιοχής μπροστά από τις εκβολές εκτιμάται πάνω από 2cm/yr, ενώ μειώνεται σημαντικά σε απόσταση 8 km από αυτές. Τα αμμώδη συστατικά των προδελταϊκών φάσεων μπορεί να προερχονται από διάφορες πηγές, όπως η λεκάνη απορροής του Έβρου, οι ακτές της δυτικής Θράκης ή ο ποταμοχείμαρος Λουτρός. Η παρουσία αμμώδους ιζήματος στις βαθύτερες περιοχές του κόλπου της Αλεξανδρούπολης φαίνεται να έχει σχέση με την τελευταία Ολοκαυτική επέκταση της θάλασσας.

ABSTRACT

Gravity cores data from the Evros River delta front and prodelta confirm the aspect that the Evros River deltaic deposits tend to west-northwest, along the main direction of the local hydrodynamic regime, preventing the construction of a symmetrical Holocene prism.

In the delta front, the terrigenous sediment consists mostly of fine-grained material. Its vertical succession is monotonous with slight differences in grain size or colour, and lack of internal structure or current-produced laminae, indicating almost immutable sedimentary processes as well as long-term discharge fluctuations. The river-borne sand is limited because of its entrapment in the river mouth but sometimes, during extreme conditions (periods of high river discharge, short-lived catastrophic events etc.), can be transported seawards covering an extensive area of the Alexandroupolis Gulf. The negligible biogenic content and the absence of bioturbation effects are attributed to the high rates of deposition. Some bioturbated horizons are produced when sedimentation rates decrease temporarily.

The prodelta sediment distribution patterns occur a distinctive zonation along an east-southeast to west-northwest trend. In the central part, mud dominates, while on both sides of this area, the content of sand gradually increases and becomes the prevalent facies near the coast and in the outer plateau of the gulf. The vertical facies sequences of the upper sedimentary cover are complicated, with many variations in grain size, colour and biogenic content reflecting a complicated manner of deposition. The major feeder of this area is the Evros River providing great amounts of suspended load. Another remarkable source of sand is derived from the coastline, which during storm conditions provides coarse-grained material in the shoreface area. Finally, a sediment supplier of local importance, Loutros River, affects the eastern area of Alexandroupolis building up a small subaqueous fan.

In the open sea, the consequences of the modern sedimentation are negligible. The sandy character of the surface and sub-surface sediments, the analysis of biogenic fragments, the long distance from the present-day terrigenous sources are some evidences which lead to the view that the upper sediment body of the southwestern part of the study area has a presumable relict origin.

²⁰Pb profiles are, more of less, consistent showing a sedimentation rate more than 2 cm/yr in the delta front, which decreases to 0.2 cm/yr at about 8 km seaward.

ΛΕΞΕΙΣ-ΚΛΕΙΔΙΑ: Έβρος ποταμός, δέλτα, ιζηματογενείς φάσεις, υπολειμματικές άμμοι, ρυθμός ιζηματογένεσης

KEY WORDS: Evros River, delta, sedimentary facies, relict sands, accumulation rates

* CONSIDERATION OF MODERN SEDIMENTARY PROCESSES OF THE EVROS RIVER DELTA FRONT AND PRODELTA, NE AEGEAN SEA

1. Εθνικό Κέντρο Θαλασσών Ερευνών (ΕΚΘΕ), Αγιος Κονστάντιος, 166 04 Ελληνικό

2. Département de Géologie et Océanographie, UMR CNRS 5805, Université Bordeaux-1, 33405 Talence, France

3. Τμήμα Περιβάλλοντος, Πανεπιστήμιο Αθηνών, Kolonaki, 104 34, Αθηνα, Ελλάς

1. ΕΙΣΑΓΩΓΗ

Τα δέλτα των ποταμών είναι περιβάλλοντα παγίδευσης κι απόθεσης των χερσαίγενων υλικών που αναπτύσσονται συνήθως σε περιόδους αργής επίκλισης της στάθμης της θάλασσας ή σταθεροποίησης αυτής σε ένα υψηλό επίπεδο (Wright, 1985; Posamentier et al., 1992). Η μορφολογία κι η στρωματογραφία των δελταικών αποθέσεων είναι το αποτέλεσμα της αλληλεπίδρασης πολλών παραγόντων, όπως του κλίματος, της γεωλογίας της λεκάνης απορροής, του τεκτονισμού, της θαλάσσιας κυκλοφορίας, της παλιρροιας κ.ά. (Goodbred Jr. & Kuehl, 2000). Η κοκκινομετρία των ποτάμιων φερτών υλών είναι ένας παράγοντας ίσης σπουδαιότητας με τους παραπάνω, που επηρεάζει σημαντικά τη δυναμική εξέλιξη, τις ιζηματογενείς φάσεις και την εσωτερική δομή των δελταικών συστημάτων.

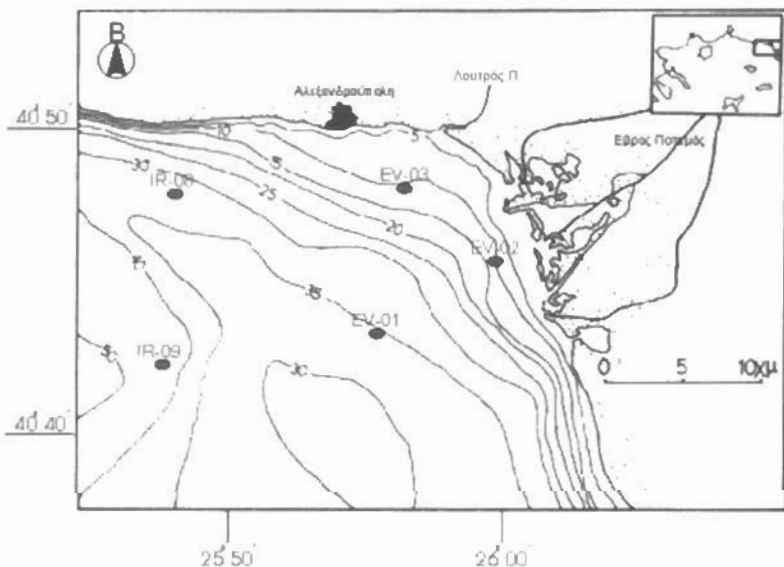
Τα ιζημάτα που συνίθως εισέρχονται στα δέλτα έχουν υποαργιλώδη έως αμμώδη σύσταση κι η απόθεση τους ελέγχεται κατά κύριο λόγο από το υδροδυναμικό καθεστώς της περιοχής. Οι διεργασίες της επαναώθησης, παραμόρφωσης, διαγένεσης κ.ά. καθορίζουν την οριστική διευθέτηση και τη γεωμετρία των αποθέσεων στο χώρο (Elliott, 1986).

Το αντικείμενο αυτής της μελέτης είναι αφενός να αναγνωρίσει και να περιγράψει τις πρόσφατες ιζηματολογικές διεργασίες που επηρεάζουν την ανάπτυξη του υποθαλάσσιου ολοκαυνικού πρώσματος του Έβρου Ποταμού κι αφετέρου να εντοπίσει και να ερμηνεύσει τις στρωματογραφικές φάσεις των υπο-επιφανειακών ιζημάτων στα διάφορα υποτεριβάλλοντα του κόλπου της Αλεξανδρούπολης. Επίσης, γίνεται προσπάθεια εκτίμησης του ρυθμού ιζηματογένεσης που επικρατεί στο μέτωπο του δέλτα και στο προδέλτα του Έβρου Ποταμού.

2. ΠΕΡΙΟΧΗ ΜΕΛΕΤΗΣ

Περιοχή μελέτης είναι το μέτωπο του δέλτα και το προδέλτα του Ποταμού Έβρου. Το συνολικό μήκος του ποταμού είναι 515 km κι η λεκάνη απορροής του είναι περίπου 52.900 km². Το σχηματιζόμενο δέλτα είναι λοβοειδές, φθάνει σε πλάτος τα 10 km περίπου και σε έκταση τα 188 km² (Ψιλοβίκος & Χαχαμίδου, 1987). Η μορφολογία των ακτών είναι πολυσχιδής κι υπάρχουν επιμήκεις αμμονησίδες.

Η μέση επήμετρη απορροή του ποταμού Έβρου υπολογίζεται σε 6,80 km³/γ, η μεγαλύτερη μεταξύ των ποταμών που εκβάλλουν στην Ελλάδα. Έχει παρατηρηθεί ότι κατά την περίοδο της μέγιστης παροχής του Έβρου, υδάτινη μάζα χαμηλής αλατόπητας (28%) και πυκνότητας (1,019 gr/cm³) διαχέται με μορφή επιφανειακού ως υπεπιφανειακού στρώματος, σε μικρό ή μέσο βάθος ως 5 m, με κατεύθυνση ΝΑ-ΒΔ. Η υδάτινη αυτή μάζα με ελαφρά μεταβαλλόμενες τιμές ανιχνεύεται σε απόσταση ως 30 km περίπου από τις εκβολές του ποταμού (Πεχλιβάνογλου κ.ά., 1993).



Σχήμα 1. Βαθυμετρία στον Κόλπο της Αλεξανδρούπολης και θέσεις δειγματοληψιών (από Pehlivanoglou, 1989)
Figure 1. Bathymetry in the Gulf of Alexandroupolis and sampling positions (from Pehlivanoglou, 1989)

Το υποθαλάσσιο ανάγλυφο είναι ομαλό με πολύ μικρές κλίσεις (Σχήμα 1). Τα βάθη ακόμη και σε απόσταση 10 km από την ακτή δεν υπερβαίνουν τα 35 m, με απότελεσμα η κλίση του βυθού να παρουσιάζεται μικρότερη από 0,1 % εκτός από το ΝΑ και ΒΔ άκρο της περιοχής όπου το ανάγλυφο είναι εντονότερο. Μετά την ισοβαθή των 30 m σχηματίζεται επίμηκες υποθαλάσσιο πλατώ με μέσο βάθος 35 m και διεύθυνση ΝΑ-ΒΔ. Εξάρεση αποτελούν το ΒΔ άκρο, στην περιοχή Μάκρης, και το ΝΑ, νοτιότερα των εκβολών του Έβρου όπου το ανάγλυφο είναι πιο απότομο και η κλίση του βυθού παρουσιάζει μικρή αύξηση (0,1 – 1 %) (Πεχλιβάνογλου κ.ά., 1993).

Τα επιφανειακά ίζηματα του πυθμένα στον κόλπο της Αλεξανδρούπολης είναι λεπτόκοκκα και κατανέμονται κατά μήκος ζωνών με κύρια διεύθυνση ΝΑ-ΒΔ σχεδόν παράλληλα με την ακτογραμμή (Σχήμα 2). Αυτή η κατανομή επηρεάζεται κυρίως από την τοπογραφία της ακτής, τη βαθυμετρία, τον κυματισμό και τα υποθαλάσσια ρεύματα της περιοχής.

Στην κεντρική περιοχή το υλικό έχει αργιλο-ιλυνώδη σύσταση. Προς τα βόρεια παραπρείται σταδιακή μετάβαση σε αδρότερα ίζηματα με συστάσεις αμμώδους ιλύος, αμμώδους αργιλοϊλυός, αργιλοϊλυνώδους άμμου κι άμμου στην παράκτια ζώνη. Νότια της κεντρικής περιοχής υπάρχει μια ζώνη αμμώδους αργιλού και στο μεγαλύτερο μέρος του υποθαλάσσιου πλατώ επικρατεί υπόλειμματική άμμος (Pehlivanoglou, 1989).

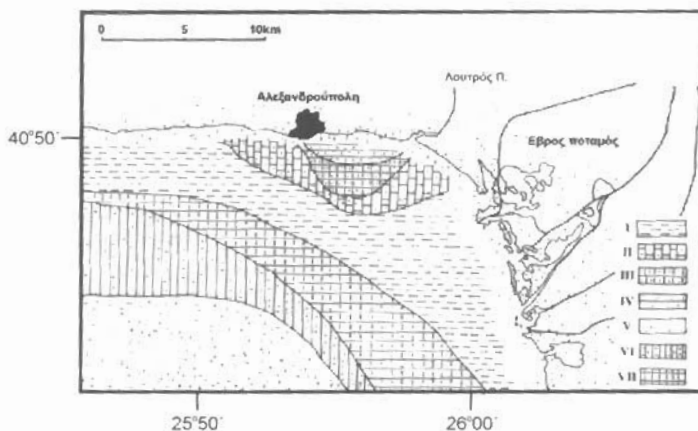
3. ΥΑΙΚΑ – ΜΕΘΟΔΟΙ

Το σύνολο των εργασιών πεδίου πραγματοποιήθηκε το Φεβρουάριο 1998 με το ωκεανογραφικό σκάφος "ΑΙΓΑΙΟ" του Εθνικού Κέντρου Θαλασσών Ερευνών. Στο Σχήμα 1 παρουσιάζονται οι θέσεις δειγματοληψίας, για τον προσδιορισμό των οποίων χρησιμοποιήθηκε δορυφορικό σύστημα Global Positioning System (GPS TRIMBLE NAVIGATIONS 4000AX LOCATOR).

Για τις δειγματοληψίες των ίζημάτων χρησιμοποιήθηκαν δύο είδη δειγματοληπτών: ο πυρηνολήπτης βαρύτητας (gravity corer) κι ο δειγματολήπτης τετράγωνης διατομής (box corer). Οι πυρήνες κόπτηκαν εγκάρσια, περιγράφηκαν μακροσκοπικά και φωτογραφήθηκαν. Ακολούθησε η επιλογή των πιο κατάλληλων και πιο αντιπροσωπευτικών θέσεων επιμέρους δειγματοληψίας, έτοι μότε τα δείγματα να καλύπτουν όλες τις ίζηματολογικές ενότητες που διακρίθηκαν στο στάδιο της μακροσκοπικής εξέτασης.

Τα δείγματα αναλύθηκαν ως προς την κοκκομετρική τους σύσταση (Folk, 1974), ενώ παράλληλα έγινε κοκκομετρική ανάλυση της λεπτόκοκκης φάσης (<63 μμ) με τη συσκευή SEDIGRAPH (Micromeritics 5000 ET), μετά από διαχωρισμό με υγρό κοσκίνισμα.

Για την ανάλυση του ^{210}Pb έγινε πυκνή δειγματοληψία υπο-δειγμάτων στους πυρήνες EV-01 και EV-02. Ο υπολογισμός του ρυθμού ίζηματογένεσης στηρίζεται στη μέτρηση της ακτινοβολίας-α του ^{210}Po κι εμμέσως του ^{210}Pb που βρίσκεται σε ισορροπία με το Po. Η ακτινοβολία του ^{210}Po μετράται, μετά από πλήρη διαλυτοποίηση



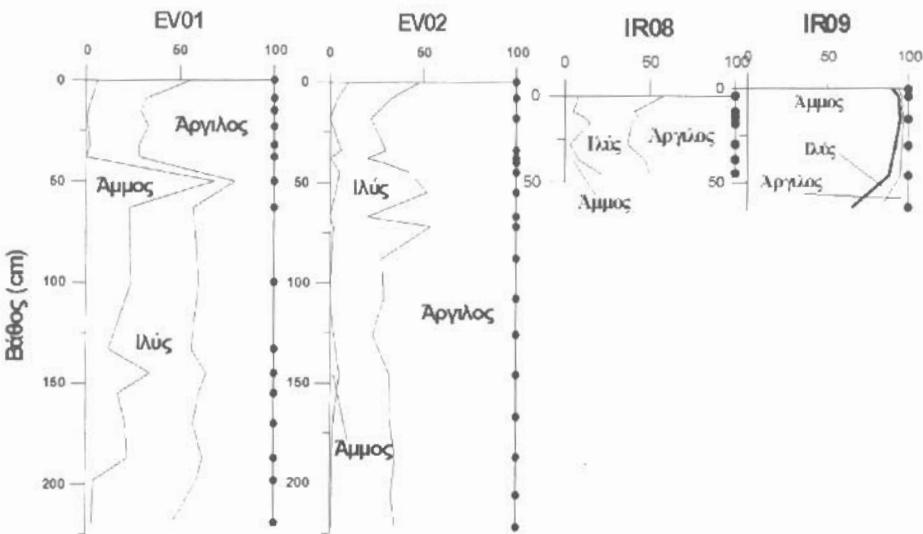
Σχήμα 2. Κατανομή λιθολογικών τύπων επιφανειακών ίζημάτων του κόλπου της Αλεξανδρούπολης (I) Αργιλοϊλύς, (II) Αμμώδης ιλύς, (III) Αμμώδης αργιλοϊλύς, (IV) Αργιλοϊλυνώδης άμμος, (V) Άμμος, (VI) Αργιλώδης άμμος, (VII) Αμμώδης αργιλός (από Pehlivanoglou, 1989).

Figure 2. Distribution of the surficial sediments of the Gulf of Alexandroupolis (I) Clayey-Silt, (II) Sandy Silt, (III) Sandy Clayey-Silt, (IV) Clayey-Silty Sand, (V) Sand, (VI) Clayey Sand, (VII) Sandy Clay (from Pehlivanoglou, 1989).

του ιζήματος και προσδρόμηση του ^{210}Po σε δίσκους αργύρου, με φωτοπολατλασιαστές τύπου ORTEC EG&G (Sanchez-Cabesa *et al.*, 1998). Η συγκέντρωση υποβάθμου (supported ^{210}Pb) υπολογίστηκε ως ο μέσος όρος των συγκεντρώσεων ^{210}Pb στα βαθύτερα τμήματα των πυρήνων όπου πλέον η συγκέντρωση του ισοτόπου είναι σχεδόν σταθερή.

4. ΑΠΟΤΕΛΕΣΜΑΤΑ – ΣΥΖΗΤΗΣΗ

Η κοκκομετρική σύσταση των υπο-επιφανειακών ιζημάτων στον κόλπο της Αλεξανδρούπολης δίνεται στο Σχήμα 3.



Σχήμα 3. Κατακόρυφες κατανομές κοκκομετρικών τάξεων στους πυρήνες των ιζημάτων (οι κουκίδες συμβολίζουν τα σημεία δειγματοληψίας)

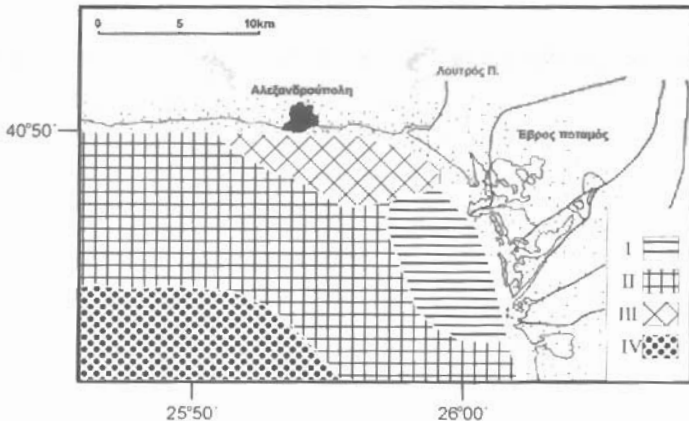
Figure 3. Vertical distributions of the grain size fractions in the sediment cores (dots represent points of sampling)

Ο πυρήνας EV-02 αποτελείται από λεπτόκοκκα ιζήματα, με πολύ μικρή περιεκτικότητα σε άμμο. Αυτές οι ιζηματολογικές φάσεις σχηματίζονται από την καθίζηση των φερτών υλών του Έβρου Ποταμού κι είναι αντιπροσωπευτικές του ανώτερου τμήματος των αποθέσεων του δελταϊκού μετώπου (Σχήμα 4). Οι μικρές διαφοροποιήσεις στη σύσταση τους μπορούν να οφείλονται στις εποχικές αλλαγές της παροχής του ποταμού ή στις διακυμάνσεις του υδροδυναμικού καθεστώτος μπροστά από τις εκβολές. Το ποσοστό της άμμου δεν ξεπερνάει το 10 %, γεγονός που υποδηλώνει ότι σχεδόν το σύνολο των χονδρόκοκκων υλικών εγκλωβίζεται στο δελταϊκό πεδίο και δεν μπορεί διαιρέψει προς τη θάλασσα. Η περιεκτικότητα των βιογενών συστατικών είναι αρκετά μικρή λόγω, πιθανώς, του αυξημένου ρυθμού καθίζησης των χερσογενών υλικών.

Ο πυρήνας IR-08 βρίσκεται στο δυτικότερο σημείο του προδέλτη του Έβρου Ποταμού. Χαρακτηρίζεται από ομοιογενές αργιλοϊλυώδες ιζημα του οποίου το αμμώδες κλάσμα κυμαίνεται από 10-20 %. Ο κύριος τροφοδότης της περιοχής σε λεπτόκοκκο υλικό παραμένει ο Έβρος Ποταμός, ενώ η χερσογενής άμμος πιθανώς προέρχεται από τη γειτονική ακτή.

Ο πυρήνας EV-01 συλλέχθηκε από το βαθύτερο σημείο (βάθος 38 m) ενός μορφολογικού κοιλώματος, όπου στα βορειοανατολικά βρίσκεται ο κόλπος της Αλεξανδρούπολης και στα νοτιοδυτικά υπάρχει μια μικρή ανύψωση από αμμώδες υλικό (Σχήμα 1). Μετά τα πρώτα 40 cm όπου επικρατούν πολύ λεπτόκοκκα ιζήματα, ακολουθεί ένας οριζόντας (41-60 cm) με απότομη αύξηση στο ποσοστό του αμμώδους κλάσματος, από 0 σε 68 %. Μετά από αυτόν τον οριζόντα αργιλοϊλυώδους άμμους ακολουθούν πιο λεπτόκοκκα στρώματα αμμωδών αργιλοϊλών μέχρι τα 194 cm. Αυτές οι έντονες διακυμάνσεις των φάσεων μπορούν να αποδοθούν στην ύπαρξη και παράλληλη λειτουργία δύο διαφορετικών πηγών τροφοδοσίας, εκ των οποίων η πρώτη, ο Έβρος Ποταμός, προσφέρει λεπτόκοκκο υλικό κι η δεύτερη, το παραπλευρού ύψωμα στα νοτιοδυτικά, τροφοδοτεί την πειοχή με άμμο.

Ψηφιακή Βιβλιοθήκη "Θεόφραστος" - Τμήμα Γεωλογίας. Α.Π.Θ.



Σχήμα 4. Κατανομή των διαφόρων υποπεριβαλλόντων του κόλπου της Αλεξανδρούπολης (I) μέτωπο του δέλτα του Έβρου Ποταμού, (II) Προδέλτα του Έβρου Ποταμού, (III) υποθαλάσσιο ριπίδιο του ποταμοχείμαρου Λουτρού, (IV) υπολειμματικές άμμου

Figure 4. Distribution of various sub-environment of the Alexandroupolis Gulf (I) Eyros River delta front, (II) Evros River prodelta, (III) subaqueous alluvial fun of Loutrós River, (IV) relict sediment

Η περιοχή μπροστά στις εκβολές του ποταμοχείμαρου Λουτρού αποτελεί ένα ειδικό υποπεριβάλλον στο κόλπο. Το επιφανειακό ίζημα του σταθμού EV-03 είναι αμμώδης ίλνς, του οποίου η απόθεση πιθανά ελέγχεται από ένα σύνολο παραγόντων, όπως το είδος κι ο ρυθμός της στερεοπαραχής του ποταμοχείμαρου, η τροφοδοσία του Έβρου Ποταμού, η ένταση του υδροδυναμικού καθεστώτος καθώς κι οι ανθρωπογενείς δραστηριότητες που σχετίζονται με την πόλη της Αλεξανδρούπολης.

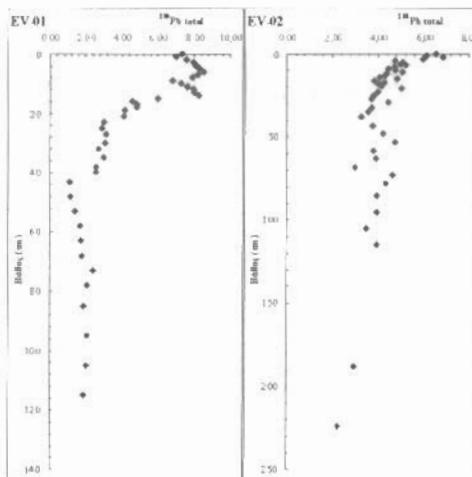
Τα ίζηματα του πυρήνα IR-09 έχουν κυρίως αμμώδη σύσταση. Πιθανά αίτια της επικράτησης του αμμώδους κλάσματος στην περιοχή αυτή είναι: (α) η απομάκρυνση του πιο λεπτόκοκκου υλικού των αποτιθέμενων ίζημάτων από τα υποθαλάσσια ρεύματα με τη διαδικασία της επαναώρησης κι η μεταφορά τους σε άλλες περιοχές του κόλπου, ή/και (β) η θέση της περιοχής σε σχέση με τις εκβολές του δέλτα όταν αυτό επεκτείνοταν πιο νοτιοδυτικά σε περιόδους χαμηλότερης στάθμης της θάλασσας (παγετώδης περίοδος Τεταρτογενούς).

Η στάθμη της θάλασσας κατά τη διάρκεια των παγετωδών και μεσοπαγετωδών περιόδων από το Ανώτερο Πλειστόκαινο μέχρι σήμερα παρουσιάσεις διαδοχικές ταπεινώσεις κι ανιψώσεις, διαφορετικές χρονικά και χωρικά για κάθε περιοχή. Η μέγιστη τιμή της τελευταίας απόσυρσης στην περιοχή του ΒΑ Αιγαίου ήταν περίπου 90 – 125 m από το σημερινό επίπεδο κι έλαβε χώρα πριν από 16.000 έτη περίπου, κατά την παγετώδη περίοδο του Ανώτερου Βουρημούν. Ακολούθησε η Φλάνδρια επίκλυση, αρχικά, με ρυθμό ανιψωσης της στάθμης της θάλασσας 0,01 m/έτος η οποία, αργότερα, επιβραδύνθηκε στα 0,02 m/έτος περίπου. Πριν από 7.500 έτη η στάθμη της θάλασσας έφτασε και σταθεροποιήθηκε στο σημερινό της, περίπου, επίπεδο επιτρέποντας την απόθεση μεγάλου όγκου ίζημάτων μπροστά από τις εκβολές των ποταμών, με αποτέλεσμα το σχηματισμό εκτενών δελταϊκών προισμάτων (Kraft *et al.*, 1982).

Η ταχεία επίκλυση των παράκτιων περιοχών της ξηράς κατά τη φάση της ανόδου της στάθμης της θάλασσας σε συνδυασμό με τη μικρή τροφοδοσία των αβαθών περιοχών του κόλπου της Αλεξανδρούπολης σε ίζηματα, είχε σαν αποτέλεσμα οι επικληματισμένες περιοχές της τωρινής υφαλοκρηπίδας να μην έχουν καλυφθεί από πρόσφατα ολοκαίνικά ίζηματα αλλά να απαντούν ακόμη εκεί ίζηματα που υπήρχαν πριν από την επίκλυση (Perissoratis & Mitropoulos, 1989). Τα ίζηματα αυτά που καλύπτουν τημήμα του σημερινού πυθμένα αλλά αποτέληκαν σε συνθήκες ιζηματογένεσης διαφορετικές από τις πιο πρόσφατες, ονομάζονται υπολειμματικά ίζηματα (relic sediments) (Swift, 1974; McManus, 1975).

Την άποψη περί ίπαρξης υπολειμματικών ίζημάτων στα νότια τημήμα του Κόλπου της Αλεξανδρούπολης υποστηρίζουν τόσο οι Perissoratis *et al.* (1987), όσο κι ο Πεχλιβάνογλου (1995).

Η κατακόρυφη κατανομή της συγκέντρωσης του ^{210}Pb με το βάθος των πυρήνων απεικονίζεται στο Σχήμα 5.



Σχήμα 5. Κατακόρυφη κατανομή συγκέντρωσης ^{210}Pb
Figure 5. Profiles of ^{210}Pb activity

Όπως φαίνεται στο διάγραμμα του πυρήνα EV-01 από τα 40 cm μέχρι και το βάθος των 115cm, η συγκέντρωση παραμένει σχεδόν σταθερή. Η ανωμαλία στην κατανομή που παρατηρείται από τα 40 έως τα 65 cm βάθος οφείλεται στην απότομη αύξηση του ποσοστού της άμμου αυτού του ορίζοντα, διότι η διόρθωση της συγκέντρωσης του ^{210}Pb με βάση το <63 μμ κοκκομετρικό κλάσμα εξομαλύνει σε μεγάλο βαθμό την καμπύλη. Τα ανώτερα 40 cm του πυρήνα αντιστοιχούν σε πρόσφατα ιζήματα (100 τελευταία έτη). Ο ορίζοντας 15-40 cm παρουσιάζει εκθετική μείωση της συγκέντρωσης του ^{210}Pb με το βάθος, υποδεικνύοντας ότι για μια χρονική περίοδο σταθερής προσφοράς υλικού ο ρυθμός ιζηματογένεσης υπολογίζεται στα 0,2 cm/yr. Στα ανώτερα 15 cm του πυρήνα οι αιχμομειώσεις της συγκέντρωσης του ^{210}Pb αντικατοπριζούν μεταβολές στη ροή αιωρούμενου υλικού στο σταθμό EV-01, με τις αρνητικές κλίσεις να αντιστοιχούν σε αύξηση του προσφερόμενου υλικού και τις θετικές σε μείωση.

Όσον αφορά στον πυρήνα EV-02 με τη μέθοδο του ^{210}Pb φαίνεται ότι μέχρι τα 225 cm βάθος οι συγκεντρώσεις του ^{210}Pb συνεχίζονται να ελαττώνονται με αποτέλεσμα να μη μπορούν να εξισωθούν με τη συγκέντρωση υποβάθρου. Αυτό σημαίνει ότι μέχρι και αυτό το βάθος η ηλικία των ιζημάτων δεν ξεπερνά τον τελευταίο αιώνα, με συνέπεια ο ρυθμός ιζηματογένεσης στη συγκεκριμένη περιοχή να ξεπερνά τα 2 cm/yr. Το αποτέλεσμα αυτό είναι αναμενόμενο σε περιοχές που βρίσκονται υπό την άμεση επίδραση ποταμού.

Θα πρέπει να σημειωθεί ότι οι τιμές των ρυθμών ιζηματογένεσης που υπολογίζονται με τη μέθοδο του ^{210}Pb είναι οι μέγιστες και για το λόγο αυτό στη διεθνή βιβλιογραφία ονομάζονται φαινομενικές (apparent). Παρόλα αυτά, οι ρυθμοί που υπολογίζονται στην περιοχή του ποταμού Έβρου συγχρινόμενοι με τους ρυθμούς στις εκβολές άλλων ποταμών βρίσκονται σε παρόμοια επίπεδα. Για παράδειγμα, στο μέτωπο του δέλτα του ποταμού Ροδανού (Β.Δ. Μεσόγειος) ο ρυθμός ιζηματογένεσης υπολογίστηκε σε 0,63 cm/yr (Zuo *et al.*, 1991), στο δέλτα του ποταμού Πάδου (Β. Δ. Αδριατική) οι τιμές κυμαίνονται από 1,45 έως 0,44 cm/yr ελαπτούμενες προς τα ανοιχτά (Frignani *et al.*, 1991), ενώ στο δέλτα του ποταμού Αξιού (Β.Δ. Αιγαίο) η ιζηματογένεση υπολογίστηκε περίπου στο 1 cm/yr (Kaberli and Anagnostou, 1998).

5. ΣΥΜΠΕΡΑΣΜΑΤΑ

Η ανάλυση των στοιχείων από το δέλτα του ποταμού Έβρου έδειξε τα ακόλουθα:

- Στο δέλτα τα χερσογενή ιζήματα αντιρροστεύονται κυρίως από λεπτοκλαστικά υλικά γεγονός που πιστοποιεί ότι η χονδροκοκκη φάση συγκρατείται στις εκβολές του ποταμού. Η τροφοδοσία της θαλάσσιας περιοχής σε άμμο είναι γενικά περιορισμένη και πιθανώς να πραγματοποιείται μόνο κάτω από ειδικές συνθήκες π.χ. περίοδοι έντονης εκροής του ποταμού, στηγμαία καταστροφικά γεγονότα. Το ανώτερο ιζηματογενές κάλυμμα αποτελείται από μια μονότονη συσσώρευση ίλυαργυρών χωρίς καμία σημαντική δομή αποδεικνύοντας ότι η ιζηματογένεση στην περιοχή είναι σχετικά ομοιόμορφη και συνεχής. Η αρκετά μικρή συγκέντρωση των βιογενών υπολειμμάτων δεν οφείλεται, πιθανώς, στη μειωμένη παρουσία ζωντανών οργανισμών αλλά στην Φυσική Βιβλιοθήκη "Θεόφραστος". Τμήμα Γεωλογίας Α.Π.Θ.

2. Η κατανομή των ιζημάτων στο προδέλτα παρουσιάζει μια ζώνωση με διεύθυνση σχεδόν ανατολικά - δυτικά. Στο κεντρικό τμήμα κυριαρχούν τα λεπτοκλαστικά υλικά, ενώ στις εκατέρωθεν περιοχές το ποσοστό της άμμου διαρκώς αυξάνει ώσπου, τελικά, γίνεται το επικρατούν πλάσμα στα ιζήματα που βρίσκονται κοντά στην ακτογραμμή αλλά και στην ανοιχτή θάλασσα. Η λιθολογική σύσταση του υπο-επιφανειακού στρώματος είναι πολύπλοκη, με αρκετές διακυμάνσεις που υποδηλώνουν αλλαγές στον τρόπο και το είδος της ιζηματογένεσης. Ο κύριος τροφοδότης της περιοχής είναι ο Έβρος Ποταμός προσφέροντας μεγάλες ποσότητες λεπτοκλαστικού φορτίου. Μία άλλη σημαντική πηγή ιζημάτων είναι η ακτή της δυτικής Θράκης η οποία, ιδιαίτερα σε περιόδους έντονων καιρικών φαινομένων παρέχει χονδρόκοκκο υλικό σε περιοχές με πιο μεγάλα βάθη. Τέλος, ο ποταμοχείμαρρος Λουτρός, ανατολικά της Αλεξανδρούπολης, φαίνεται να έχει τοπική επίδραση σχηματίζοντας ένα μικρής έκτασης υποθαλάσσιο φιπίδιο.
3. Στην ανοιχτή θάλασσα οι συνέπειες της σύγχρονης ιζηματογένεσης φαίνονται να είναι αμελητέες. Η λιθολογική σύσταση κι η εξέταση της βιογενούς φάσης συνηγορούν στην άποψη κι άλλων ερευνητών περί της υπολειμματικής προέλευσης αυτών των ιζημάτων. Επομένως, το αμμώδες στρώμα που καλύπτει την νοτιοδυτική περιοχή μελέτης αντιπροσωπεύει υπολειμματικά ιζήματα, δηλαδή παλαιότερες αποθέσεις που δεν καλύφθηκαν από πρόσφατα ιζήματα μετά την τελευταία επίκλυση της θάλασσας.
4. Ο ρυθμός ιζηματογένεσης της περιοχής μπροστά από τις εκβολές εκτιμάται σε περισσότερο από 2 cm/yr, τιμή αναμενόμενη, ενώ μακρύτερα και νοτιοδυτικά από τις εκβολές μειώνεται σχεδόν 10 φορές, παραπήρηση που συμβαδίζει με την παρατήρηση για τον άξονα ανάπτυξης των δελταικών αποθέσεων.

ΒΙΒΛΙΟΓΡΑΦΙΑ

- ELLIOTT, T., 1986. Deltas. In: *Sedimentary Environments and Facies* (Ed. by H.G. Reading), Blackwell Scientific Publications, Oxford, pp. 113-154.
- FRIGNANI, M. & LANGONE, L., 1991. Accumulation rates and ^{137}Cs distribution in sediments off the Po river delta and the Emilia-Romagna coast (northwestern Adriatic Sea, Italy). *Cont. Shelf Res.* 11 (6), 525-542.
- GOODBRED Jr., S.L. & KUEHL, S.A., (2000). The significance of large sediment supply, active tectonism, and eustasy on margin sequence development: Late Quaternary stratigraphy and evolution of the Ganges-Brahmaputra delta. *Sedimentary Geology* 133, 227-248.
- KABERI, H. & ANAGNOSTOU, C., (1998). Mesoscale sedimentation rates in the prodelta deposits of Axios river, Thermaikos gulf - NW Aegean sea. In: "EU-MAST II, METRO-MED Project, Dynamics of Matter Transfer and Biogeochemical Cycles: Their Modeling in Coastal systems of the Mediterranean Sea. A MAST - III ELOISE European Union Project". 3rd Workshop and Steering Committee Meeting of the EU-MAST II, Toulouse (Ed. by C. Anagnostou), NCMR, Athens, pp. 90-92.
- ΚΑΝΕΛΛΟΠΟΥΛΟΣ, Θ.Δ., ΑΓΓΕΛΙΔΗΣ, Μ.Ο., ΚΑΡΑΓΕΩΡΓΗΣ, Α. & ΚΑΜΠΙΕΡΗ, Ε., (2000). Κατανομή ιζηματολογικών και γεωχημικών παραμέτρων στο υποθαλάσσιο δέλτα του ποταμού Έβρου, Πρακτ. 6^η Πανελλ. Συμπ. Ωκεαν. & Αλιείας, Χίος, 456-463.
- KRAFT, J.C., KAYAN, I. & EROL, O., (1982). Geology and paleogeographic reconstructions in the vicinity of ancient Troy. In: *Geology of Troy*, (Ed. by G.R. Rapp & J. Giggord), Princeton Univ. Press, pp. 11-42.
- McMANUS D.A., 1975. Modern versus relict sediment on the continental shelf. *Bull. Geol. Soc. Am.* 86, 1154-1160.
- PECHLIVANOGLU, K., (1989). Evros delta: Evolution of continental shelf sediments. *Marine Geology* 87, 27-29.
- PERISSORATIS, C., MOORBYS, S.A., PAPAVASILIOU, C., CRONAN, D.S., ANGELOPOULOS, I., SAKELLARIADOU, F. & MITROPOULOS, D., (1987). The geology and geochemistry of the surficial sediments off Thraki, Northern Greece. *Marine Geology* 74, 209-224.
- ΠΕΡΙΣΟΡΑΤΗΣ, Κ.Δ. & ΠΑΝΑΓΟΣ, Α.Γ., (1982). Ενδείξεις παρουσίας υφαλοορίου και υπολειμματικών ιζημάτων στον Κόλπο του Άγιου Όρους (Σιγγιτικός), Β. Αιγαίο. *Ορυκτός Πλούτος* 17, 35-44.
- ΠΕΧΑΙΒΑΝΟΓΛΟΥ, Κ., ΤΣΙΡΑΜΠΙΔΗΣ, Α. & ΤΡΩΝΤΣΙΟΣ, Γ., (1993). Προέλευση - κατανομή αργιλικών ορυκτών στον κόλπο Αλεξανδρούπολης, Πρακτ. 4^η Πανελλ. Συμπ. Ωκεαν. & Αλιείας, Ρόδος, σελ. 272-275.
- POSAMENTIER, H.W., ALLEN, G.P. & JAMES, D.P., (1992). High resolution sequence stratigraphy – East Coulee delta, Alberta. *Journal of Sedimentary Petrology* 62 (2), 310-317.
- SANCHEZ-CABESA, J.A., MASQUE, P. & ANI-RAGOLTA, I., (1998). ^{210}Pb and ^{210}Po analysis in sediments and soils by microwave acid digestion. *Journal of Radioactivity and Nuclear Chemistry* 227 (1-2), 19-22.
- SWIFT, D.J.B., (1974). Continental shelf sedimentation. In: *The Geology of Continental Margins* (Ed. by C.A. Burk & C.L. Drake), Springer-Verlag, Berlin, pp. 117-135.
- ΨΙΛΟΒΙΚΟΣ, Α. & ΧΑΧΑΜΙΔΟΥ, Ε., (1987). Συμβολή στην έρευνα των Ολοκαινικών Ελληνικών Δέλτα, Πρακτ. Β' Πανελλ. Συμπ. Ωκεαν. & Αλιείας, Αθήνα, σελ. 456-463.
- WRIGHT, L.D., (1985). River deltas. In: *Coastal Sedimentary Environments* (Ed. by R.A. Davis), Springer-Verlag, New York, pp. 1-76.
- ZUO, Z., EISMA, D. & BERGER, G.W., 1991. Determination of sediment accumulation and mixing rates in the gulf of Lions, Mediterranean Sea. *Oceanologica Acta* 14 (3), 253-262.